

РАЗЛОЖЕНИЕ ГИНЗБУРГА–ЛАНДАУ И НАКЛОН ВЕРХНЕГО КРИТИЧЕСКОГО ПОЛЯ В СВЕРХПРОВОДНИКАХ С АНИЗОТРОПНЫМ РАССЕЯНИЕМ НА НОРМАЛЬНЫХ ПРИМЕСЯХ

А. И. Посаженикова, М. В. Садовский*

Институт электрофизики Уральского отделения Российской академии наук
620049, Екатеринбург, Россия

Поступила в редакцию 16 мая 1997 г.

Построено разложение Гинзбурга–Ландау для сверхпроводников с анизотропным s - и d -спариванием при наличии анизотропии рассеяния на нормальных примесях, повышающей устойчивость d -спаривания к разупорядочению. Показано, что наклон кривой верхнего критического поля $|dH_{c2}/dT|_{T_c}$ в сверхпроводниках с d -спариванием ведет себя нелинейным образом с ростом беспорядка — при малой анизотропии рассеяния он быстро убывает с ростом концентрации примесей, но по мере ее роста он начинает нелинейно возрастать, достигает максимума, а потом снова быстро уменьшается, обращаясь в нуль при критической концентрации примесей. В сверхпроводниках с анизотропным s -спариванием $|dH_{c2}/dT|_{T_c}$ всегда растет, выходя на известную асимптотику, характерную для изотропного случая, независимо от наличия анизотропии рассеяния на примесях.

1. ВВЕДЕНИЕ

Определение типа куперовского спаривания продолжает оставаться в центре внимания исследователей высокотемпературной сверхпроводимости. Большинство экспериментов и целый ряд теоретических моделей [1] указывают на реализацию в большинстве ВТСП-оксидов анизотропного спаривания $d_{x^2-y^2}$ -типа с нулями функции щели на поверхности Ферми. Предлагались и другие варианты анизотропного спаривания, в частности, так называемое анизотропное s -спаривание [2, 3], также приводящее к существованию нулей функции щели (но без смены знака параметра порядка) или к минимумам функции щели на поверхности Ферми в тех же направлениях в зоне Бриллюэна, что и в случае d -спаривания (на что есть также ряд экспериментальных указаний). В работах [4, 5] было отмечено, что контролируемое введение нормальных примесей (разупорядочение) может служить эффективным методом экспериментального различения упомянутых выше типов анизотропного спаривания, приводя к принципиально различному поведению плотности состояний в этих типах сверхпроводников. В предыдущей работе авторов [6] было показано, что измерения эволюции наклона кривой верхнего критического поля $|dH_{c2}/dT|_{T_c}$ с разупорядочением может, в принципе, использоваться в тех же целях — в сверхпроводниках с d -спариванием величина этого наклона должна быстро уменьшаться с ростом степени разупорядочения, тогда как в случае анизотропного s -спаривания наклон поля увеличивается с ростом степени разупорядочения, аналогично изотропному случаю.

*E-mail: sadovski@ief.intec.ru

В недавней работе [7] была рассмотрена интересная модель с анизотропным примесным рассеянием. Оказалось, что в случае достаточно сильной анизотропии рассеяния « d -типа» происходит заметное подавление эффекта разрушения куперовских пар d -типа за счет рассеяния на нормальных примесях, описываемого в изотропном случае известной зависимостью Абрикосова–Горькова для случая магнитных примесей в изотропном сверхпроводнике [4–6]. Таким образом, учет анизотропии примесного рассеяния позволяет, по крайней мере в принципе, снять одну из основных проблем физики ВТСП — противоречие между явными указаниями на реализацию в них спаривания d -типа и их относительной устойчивостью к разупорядочению [8]. Это объяснение необычной устойчивости ВТСП-купратов к разупорядочению в случае, если в них действительно имеет место спаривание d -типа, не является единственно возможным (см. например, объяснение, предложенное нами в работе [9]), однако простота модели [7] является достаточно привлекательной и стимулирует расчеты других характеристик сверхпроводников с «экзотическими» типами спаривания с учетом возможной роли анизотропии рассеяния на нормальных примесях. Данная работа представляет собой непосредственное обобщение нашей предыдущей работы [6] на этот случай. Как будет показано, учет анизотропии примесного рассеяния приводит (в случае d -спаривания) к довольно ярким аномалиям в поведении наклона кривой верхнего критического поля

те [6], наше рассмотрение будет основываться на микроскопическом выводе разложения Гинзбурга–Ландау в примесной системе.

2. РАЗЛОЖЕНИЕ ГИНЗБУРГА–ЛАНДАУ

Рассмотрим двумерную электронную систему с изотропной поверхностью Ферми и сепарабельным потенциалом куперовского спаривания вида [4, 5]

$$V(\mathbf{p}, \mathbf{p}') \equiv V(\phi, \phi') = -Ve(\phi)e(\phi'), \quad (1)$$

где ϕ — полярный угол, определяющий направление электронного импульса \mathbf{p} в хорошо проводящей плоскости, а для $e(\phi)$ принимается простейшая модельная зависимость:

$$e(\phi) = \begin{cases} \sqrt{2} \cos(2\phi) & (d\text{-спаривание}), \\ \sqrt{2} |\cos(2\phi)| & (\text{анизотропное } s\text{-спаривание}). \end{cases} \quad (2)$$

Константу притяжения V считаем, как обычно, отличной от нуля в некотором слое шириной $2\omega_c$ в окрестности уровня Ферми (ω_c — характерная частота квантов, обеспечивающих притяжение электронов). В этом случае сверхпроводящая щель (параметр порядка) имеет вид

$$\Delta(\mathbf{p}) \equiv \Delta(\phi) = \Delta e(\phi), \quad (3)$$

причем положения нулей функции щели на поверхности Ферми для s - и d -случаев просто совпадают.

Рассмотрим сверхпроводник, содержащий «нормальные» (немагнитные) примеси, хаотично распределенные в пространстве с концентрацией ρ . Следуя работе [7], предположим, что квадрат амплитуды примесного рассеяния представляется в следующем виде:

$$|V_{imp}(\mathbf{p}, \mathbf{p}')|^2 \equiv |V_{imp}(\phi, \phi')|^2 = |V_0|^2 + |V_1|^2 f(\phi)f(\phi'), \quad (4)$$

где V_0 — амплитуда изотропного точечного рассеяния, V_1 — амплитуда анизотропного рассеяния, а модельная функция $f(\phi)$ (зависящая от того же полярного угла, определяющего направление электронного импульса) определяет характер анизотропии рассеяния на примеси. Полагаем, что рассеяние является «в основном» изотропным, и вводим следующие ограничения [7]:

$$|V_1|^2 \leq |V_0|^2; \quad \langle f \rangle = 0; \quad \langle f^2 \rangle = 1, \quad (5)$$

где угловые скобки обозначают усреднение по направлениям импульса на поверхности Ферми (углу ϕ). Соответственно, второе слагаемое в (4) описывает отклонения от изотропного рассеяния.

Нормальная и аномальная функции Грина в таком сверхпроводнике имеют вид [10]

$$G(\omega, \mathbf{p}) = -\frac{i\tilde{\omega} + \xi_p}{\tilde{\omega}^2 + \xi_p^2 + |\tilde{\Delta}(\mathbf{p})|^2}, \quad (6)$$

$$F(\omega, \mathbf{p}) = \frac{\tilde{\Delta}^*(\mathbf{p})}{\tilde{\omega}^2 + \xi_p^2 + |\tilde{\Delta}(\mathbf{p})|^2},$$

где $\omega = (2n + 1)\pi T$, ξ — энергия электрона, отсчитанная от уровня Ферми,

$$\tilde{\omega}(\mathbf{p}) = \omega + i\rho \int \frac{d\mathbf{p}'}{(2\pi)^2} |V_{imp}(\mathbf{p} - \mathbf{p}')|^2 G(\omega, \mathbf{p}'), \quad (7)$$

$$\tilde{\Delta}(\mathbf{p}) = \Delta(\mathbf{p}) + \rho \int \frac{d\mathbf{p}'}{(2\pi)^2} |V_{imp}(\mathbf{p} - \mathbf{p}')|^2 F(\omega, \mathbf{p}').$$

Для определения критической температуры перехода T_c в уравнениях (7) можно ограничиться линейным по Δ приближением:

$$\tilde{\omega} = \omega + i\rho \frac{N(0)}{2\pi} \int d\xi \int_0^{2\pi} d\phi \{ |V_0|^2 + |V_1|^2 f(\phi)f(\phi') \} \frac{\tilde{\omega}}{\tilde{\omega}^2 + \xi^2}, \quad (8)$$

$$\tilde{\Delta} = \Delta + \rho \frac{N(0)}{2\pi} \int d\xi \int_0^{2\pi} d\phi \{ |V_0|^2 + |V_1|^2 f(\phi)f(\phi') \} \frac{\tilde{\Delta}}{\tilde{\omega}^2 + \xi^2}.$$

Линеаризованное уравнение для функции щели, определяющее температуру перехода T_c , имеет вид

$$\Delta(\mathbf{p}) = -T_c \sum_{\omega} \int \frac{d\mathbf{p}'}{(2\pi)^2} V(\mathbf{p}, \mathbf{p}') \frac{\tilde{\Delta}(\mathbf{p}')}{\tilde{\omega}^2 + \xi_p'^2}. \quad (9)$$

Из уравнения (9) и уравнений перенормировки (8) стандартными методами получаем уравнение для температуры перехода T_c в общем виде:

$$\ln\left(\frac{T_c}{T_{c0}}\right) = \left(\langle e \rangle^2 + \langle ef \rangle^2 - 1\right) \left[\Psi\left(\frac{1}{2} + \frac{\gamma_0}{2\pi T_c}\right) - \Psi\left(\frac{1}{2}\right) \right] + \langle ef \rangle^2 \left[\Psi\left(\frac{1}{2}\right) - \Psi\left(\frac{1}{2} + \frac{\gamma_0}{2\pi T_c} \left(1 - \frac{\gamma_1}{\gamma_0}\right)\right) \right], \quad (10)$$

где T_{c0} — температура перехода в отсутствие примесей, $\Psi(x)$ — логарифмическая производная Γ -функции, $\gamma_0 = \pi\rho V_0^2 N(0)$ и $\gamma_1 = \pi\rho V_1^2 N(0)$ — соответственно изотропная и анизотропная частоты рассеяния, $(ef)^2$ определяет «перекрывание» функций $e(\mathbf{p})$ и $f(\mathbf{p})$.

Для простоты выберем функцию $f(\mathbf{p})$ в виде, аналогичном (2):

$$f(\mathbf{p}) \equiv f(\phi) = \sqrt{2} \cos(2\phi), \quad (11)$$

что обеспечивает максимальное «перекрывание» для d -случая. Более общее рассмотрение можно найти в [7]. Теперь уравнения перенормировки (8) можно записать в виде

$$\begin{aligned} \bar{\omega} &= \omega + i \frac{\gamma_0}{\pi} \int d\xi \frac{\bar{\omega}}{\bar{\omega}^2 + \xi^2} + i \frac{\gamma_1}{\pi^2} \cos(2\phi) \int d\xi \int d\phi' \cos(2\phi') \frac{\bar{\omega}}{\bar{\omega}^2 + \xi^2}, \\ \bar{\Delta} &= \Delta + i \frac{\gamma_0}{\pi} \int d\xi \frac{\bar{\Delta}}{\bar{\omega}^2 + \xi^2} + i \frac{\gamma_1}{\pi^2} \cos(2\phi) \int d\xi \int d\phi' \cos(2\phi') \frac{\bar{\Delta}}{\bar{\omega}^2 + \xi^2}. \end{aligned} \quad (12)$$

Отсюда получаем известное выражение для перенормированной частоты в обоих интересующих нас случаях:

$$\bar{\omega} = \omega + \gamma_0 \operatorname{sign} \omega. \quad (13)$$

В случае d -спаривания симметрия функции щели в присутствии примесей не изменяется:

$$\bar{\Delta} = \Delta \frac{|\bar{\omega}|}{|\bar{\omega}| - \gamma_1}. \quad (14)$$

В случае s -спаривания щель перенормируется на не зависящую от угла ϕ и частоты γ_1 константу:

$$\bar{\Delta} = \Delta + \Delta_0 \frac{2\sqrt{2}\gamma_0}{\pi|\omega|}. \quad (15)$$

В результате уравнение для T_c в сверхпроводнике со спариванием d -типа приобретает вид

$$\ln\left(\frac{T_c}{T_{c0}}\right) = \Psi\left(\frac{1}{2}\right) - \Psi\left(\frac{1}{2} + \left(1 - \frac{\gamma_1}{\gamma_0}\right) \frac{\gamma_0}{2\pi T_c}\right). \quad (16)$$

Для сверхпроводника с анизотропным спариванием s -типа

$$\ln\left(\frac{T_c}{T_{c0}}\right) = \left(1 - \frac{8}{\pi^2}\right) \left[\Psi\left(\frac{1}{2} + \frac{\gamma_0}{2\pi T_c}\right) - \Psi\left(\frac{1}{2}\right)\right]. \quad (17)$$

Заметим, что в уравнении (17) зависимость от анизотропной частоты рассеяния просто выпадает.

Соответствующие зависимости $T_c(\gamma_0/T_{c0})$ приведены на рис. 1, для случая d -спаривания при разных значениях отношения γ_1/γ_0 . В случае сверхпроводника s -типа температура перехода T_c слабо подавляется с ростом γ_0/T_{c0} . В случае сверхпроводника d -типа при малых γ_1 подавление T_c происходит очень быстро, однако с ростом величины γ_1/γ_0 критическое значение γ_{0c}/T_{c0} , при котором исчезает сверхпроводимость, быстро увеличивается.

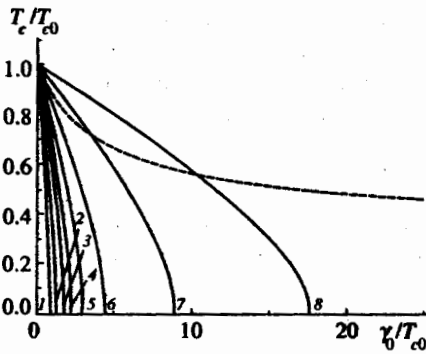


Рис. 1. Зависимость температуры перехода T_c от параметра беспорядка γ_0/T_{c0} . Штриховая линия — зависимость для случая s -спаривания, сплошные линии — для случая анизотропного d -спаривания для ряда значений параметра γ_1/γ_0 : 1 — $\gamma_1/\gamma_0 = 0.0$, 2 — 0.3, 3 — 0.5, 4 — 0.6, 5 — 0.7, 6 — 0.8, 7 — 0.9, 8 — 0.95

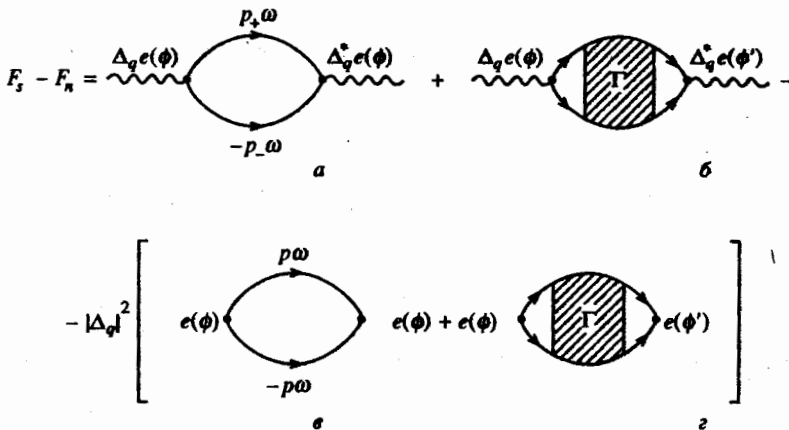


Рис. 2. Графическое представление разложения Гинзбурга–Ландау. Электронные линии «одеты» примесным рассеянием; Γ — вершинная часть примесного рассеяния, вычисляемая в лестничном приближении. Диаграммы c и d вычисляются при $q = 0$ и $T = T_c$, $p_{\pm} = p \pm q/2$

В качестве параметра порядка, по которому ведется разложение свободной энергии, выбираем, как обычно, щелевую функцию. При этом полагаем, что амплитуда $\Delta(T)$ является медленной функцией пространственных координат. В импульсном пространстве возникает фурье-компонента параметра порядка:

$$\Delta(\phi, q) = \Delta_q(T)e(\phi). \tag{18}$$

Разложение Гинзбурга–Ландау для разности свободных энергий сверхпроводящего и нормального состояний с интересующей нас точностью до членов, квадратичных по Δ в области малых q имеет вид

$$F_s - F_n = A|\Delta_q|^2 + q^2 C|\Delta_q|^2 \tag{19}$$

и определяется графиками петлевого разложения для свободной энергии электронов в поле флуктуаций параметра порядка с малым волновым вектором q , показанными на рис. 2. Вычитание диаграмм c и d обеспечивает обращение в нуль коэффициента A

в точке перехода $T = T_c$. Подробности вычислений вершинной части Γ_{pp} и коэффициентов Гинзбурга–Ландау для d -сверхпроводника приведены соответственно в Приложениях А и Б. Следует заметить, что для сверхпроводников d -типа «диффузионная» перенормировка за счет графиков типа рис. 2б, z равна нулю с точностью до членов, квадратичных по q , если не учитывать анизотропии примесного рассеяния. В случае s -сверхпроводника вычисления проводятся аналогичным образом, зависимость от анизотропной компоненты рассеяния в этом случае отсутствует.

В итоге коэффициенты Гинзбурга–Ландау представляются в виде

$$A = A_0 K_A, \quad C = C_0 K_C, \quad (20)$$

где через A_0 и C_0 обозначены обычные выражения для случая изотропного s -спаривания [11]:

$$A_0 = N(0) \frac{T - T_c}{T_c}, \quad C_0 = N(0) \frac{7\zeta(3) v_F^2}{48\pi^2 T_c^2}, \quad (21)$$

где $v_F, N(0)$ — соответственно скорость электронов и плотность состояний на поверхности Ферми, а все особенности рассматриваемых моделей содержатся в безразмерных коэффициентах K_A и K_C . В отсутствие примесей в обеих моделях имеем $K_A^0 = 1$, $K_C^0 = 3/2$. В системе с примесями получаем

(А) d -спаривание:

$$K_A = \frac{\gamma_0}{4\pi T_c} \int_{-\omega_c}^{\omega_c} \frac{d\xi}{\xi} \int_{-\infty}^{\infty} d\omega \frac{\omega + \xi}{(\omega^2 + \gamma_0^2) \text{ch}^2\left(\frac{\omega + \xi}{2T_c}\right)} + \quad (22)$$

$$\frac{\gamma_1(2\gamma_0 + \gamma_1)}{4T_c} \int_{-\infty}^{\infty} d\omega \frac{\omega^2}{(\omega^2 + \gamma_0^2)(\omega^2 + (\gamma_0 - \gamma_1)^2) \text{ch}^2\left(\frac{\omega}{2T_c}\right)},$$

$$K_C = \frac{3\pi T_c}{7\zeta(3)\gamma_1} \left\{ \frac{2\pi T_c}{\gamma_1} \left[\Psi\left(\frac{1}{2} + \frac{\gamma_0 - \gamma_1}{2\pi T_c}\right) - \Psi\left(\frac{1}{2} + \frac{\gamma_0}{2\pi T_c}\right) \right] + \Psi\left(\frac{1}{2} + \frac{\gamma_0 - \gamma_1}{2\pi T_c}\right) \right\}; \quad (23)$$

(Б) анизотропное s -спаривание:

$$K_A = \frac{\gamma_0}{\pi T_c} \times \left\{ \frac{1}{4} \int_{-\omega_c}^{\omega_c} \frac{d\xi}{\xi} \int_{-\infty}^{\infty} d\omega \frac{\omega + \xi}{(\omega^2 + \gamma_0^2) \text{ch}^2\left(\frac{\omega + \xi}{2T_c}\right)} + \frac{2\gamma_0}{\pi} \int_{-\infty}^{\infty} d\omega \frac{1}{(\omega^2 + \gamma_0^2) \text{ch}^2\left(\frac{\omega}{2T_c}\right)} \right\}, \quad (24)$$

$$K_C = -\frac{3(\pi^2 - 8)}{28\pi^2 \zeta(3)} \Psi''\left(\frac{1}{2} + \frac{\gamma_0}{2\pi T_c}\right) + \frac{24\pi^2}{7\zeta(3)\gamma_0^2} \frac{T_c^2}{(\pi^2 - 8)\gamma^2} \ln\left(\frac{T_c}{T_{c0}}\right) + \frac{6\pi}{7\zeta(3)} \frac{T_c}{\gamma_0}. \quad (25)$$

Результаты численных расчетов безразмерных коэффициентов в зависимости от параметра γ_0/T_{c0} в случае d -спаривания при разных значениях отношения γ_1/γ_0 приведены на рис. 3, 4.

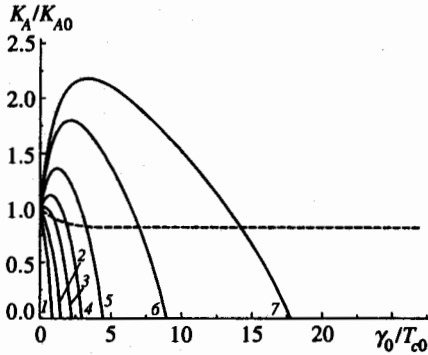


Рис. 3

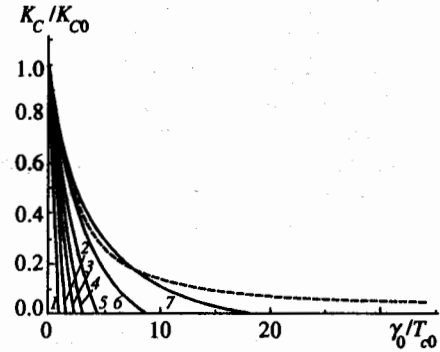


Рис. 4

Рис. 3. Зависимость безразмерного коэффициента K_A/K_{A0} от параметра беспорядка γ_0/T_{c0} . Штриховая линия — зависимость для случая s -спаривания, сплошные линии — для случая анизотропного d -спаривания для ряда значений параметра γ_1/γ_0 : 1 — $\gamma_1/\gamma_0 = 0.0$, 2 — 0.4, 3 — 0.6, 4 — 0.7, 5 — 0.8, 6 — 0.9, 7 — 0.95

Рис. 4. Зависимость безразмерного коэффициента K_C/K_{C0} от параметра беспорядка γ_0/T_{c0} . Штриховая линия — зависимость для случая s -спаривания, сплошные линии — для случая анизотропного d -спаривания для ряда значений параметра γ_1/γ_0 : 1 — $\gamma_1/\gamma_0 = 0.0$, 2 — 0.4, 3 — 0.6, 4 — 0.7, 5 — 0.8, 6 — 0.9, 7 — 0.95

3. ВЕРХНЕЕ КРИТИЧЕСКОЕ ПОЛЕ

Поведение коэффициентов Гинзбурга–Ландау A и C , как известно [11], определяет температурную зависимость верхнего критического магнитного поля вблизи T_c :

$$H_{c2} = \frac{\phi_0}{2\pi\xi^2(T)} = -\frac{\phi_0 A}{2\pi C}, \tag{26}$$

где $\phi_0 = \pi/e$ — квант магнитного потока, $\xi(T)$ — зависящая от температуры длина когерентности. Отсюда легко найти наклон кривой температурной зависимости $H_{c2}(T)$ вблизи T_c , т. е. производную поля по температуре:

$$\left| \frac{dH_{c2}}{dT} \right|_{T_c} = \frac{24\pi\phi_0}{7\zeta(3)v_F^2} T_c \frac{K_A}{K_C}. \tag{27}$$

Для сверхпроводника s -типа наклон кривой верхнего критического поля не зависит от анизотропного рассеяния. На рис. 5 приведены зависимости безразмерного параметра $h = |dH_{c2}/dT|_{T_c} / |dH_{c2}/dT|_{T_{c0}}$ от степени разупорядочения γ_0/T_{c0} в случае d -спаривания при разных значениях отношения γ_1/γ_0 . В случае анизотропного s -спаривания наклон кривой верхнего критического поля как всегда [6] увеличивается с ростом разупорядочения и в пределе сильного рассеяния, $\gamma_0 \gg T_c$, зависимость h от γ_0 становится линейной и наклон определяется известным соотношением Горькова [12]:

$$\frac{\sigma}{N(0)} \left| \frac{dH_{c2}}{dT} \right|_{T_c} = \frac{8e^2}{\pi^2} \phi_0, \tag{28}$$

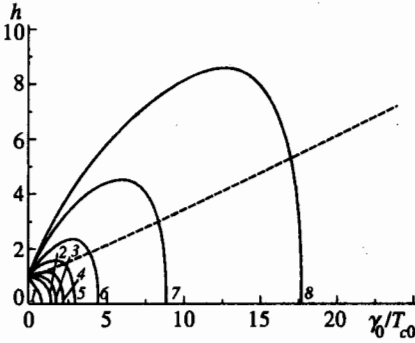


Рис. 5. Зависимость нормированного наклона кривой верхнего критического поля $h = |dH_{c2}/dT|_{T_c} / |dH_{c2}/dT|_{T_{c0}}$ от параметра беспорядка γ_0/T_{c0} . Штриховая линия — зависимость для случая s -спаривания, сплошные линии — для случая анизотропного d -спаривания для ряда значений параметра γ_1/γ_0 : 1 — $\gamma_1/\gamma_0 = 0.0$, 2 — 0.4, 3 — 0.5, 4 — 0.6, 5 — 0.7, 6 — 0.8, 7 — 0.9, 8 — 0.95

где $\sigma = N(0)e^2v_F^2/3\gamma_0$ — проводимость электронов в нормальной фазе с характерным для обычных «грязных» сверхпроводников изотропным s -спариванием. Поэтому сильное разупорядочение подавляет анизотропию щели, и мы переходим к обычному пределу «грязного» сверхпроводника.

В случае d -спаривания наклон кривой для поля H_{c2} при малых значениях отношения γ_1/γ_0 быстро уменьшается до нуля на масштабе $\gamma_0 \sim T_{c0}$. На интервале $0.5 \leq \gamma_1/\gamma_0 \leq 0.6$ поведение наклона меняется принципиальным образом: h начинает плавно, но нелинейно расти с ростом γ_0/T_{c0} , проходит через максимум, а затем резко уменьшается. Протяженность участка, где наклон растет, быстро увеличивается по мере стремления γ_1 к γ_0 . Представляется, что столь сильные аномалии зависимости наклона кривой верхнего критического поля от степени разупорядочения могут быть использованы для определения типа спаривания и возможной роли анизотропного рассеяния в необычных сверхпроводниках. К сожалению, в случае ВТСП-систем положение осложняется известной нелинейностью зависимости H_{c2} от температуры, которая наблюдается в достаточно широкой области температур, начиная с T_c , а также некоторой неопределенностью в экспериментальных методах определения H_{c2} .

Работа выполнена при частичной поддержке Российского фонда фундаментальных исследований (проект 96-02-16065), а также в рамках государственной программы «Статистическая физика» (проект IX.1) и государственной программы по ВТСП Министерства науки России (проект 96-051).

ПРИЛОЖЕНИЕ А

Вычисление вершинной части $\Gamma_{pp'}$ в лестничном приближении

Уравнение Бете–Солпитера для вершинной части имеет вид

$$\Gamma_{pp'} = U(p, p') + \sum_{p''} U(p, p'')G^R(p'')G^A(p'')\Gamma_{p''p'}, \quad (\text{A.1})$$

где $U(p, p')$ — неприводимая вершинная часть. Рассмотрим $U(p, p')$ в виде («лестничное» приближение)

$$U(p, p') = \rho V_0^2 + \rho V_1^2 f(p)f(p'). \quad (\text{A.2})$$

Тогда уравнение (А.1) можно представить в виде

$$\Gamma_{pp'} = \rho V_0^2 + \rho V_1^2 f(p) f(p') + \rho V_0^2 \Psi(p') + \rho V_1^2 f(p) \Phi(p'), \quad (A.3)$$

где

$$\begin{aligned} \Psi(p') &= \sum_{p''} G^R(p'') G^A(p'') \Gamma_{p''p'}, \\ \Phi(p') &= \sum_{p''} f(p'') G^R(p'') G^A(p'') \Gamma_{p''p'}. \end{aligned} \quad (A.4)$$

Из уравнения (А.3) можно получить самосогласованную систему уравнений для функций $\Psi(p')$ и $\Phi(p')$:

$$\begin{cases} \Psi(p') = \rho V_0^2 I_1 + \rho V_1^2 f(p') I_2 + \rho V_0^2 I_1 \Psi(p') + \rho V_1^2 I_2 \Phi(p'), \\ \Phi(p') = \rho V_0^2 I_2 + \rho V_1^2 f(p') I_3 + \rho V_0^2 I_2 \Psi(p') + \rho V_1^2 I_3 \Phi(p'), \end{cases} \quad (A.5)$$

где

$$\begin{aligned} I_1 &= \sum_p G^R(p) G^A(p), \\ I_2 &= \sum_p f(p) G^R(p) G^A(p), \\ I_3 &= \sum_p f^2(p) G^R(p) G^A(p). \end{aligned} \quad (A.6)$$

Решая систему (А.5), найдем выражения для функций $\Psi(p')$ и $\Phi(p')$, а следовательно, и для вершинной части:

$$\Gamma_{pp'} = \frac{\rho V_0^2 (1 - \rho V_1^2 I_3 + \rho V_1^2 f(p') I_2) + \rho V_1^2 (f(p) f(p') (1 - \rho V_0^2 I_1) + \rho V_0^2 f(p) I_2)}{(1 - \rho V_0^2 I_1)(1 - \rho V_1^2 I_3) - \rho V_0^2 \rho V_1^2 I_2^2}. \quad (A.7)$$

ПРИЛОЖЕНИЕ Б

Коэффициенты Гинзбурга-Ландау

Диаграмме а рис. 2 соответствует выражение

$$\begin{aligned} & -\frac{T}{(2\pi)^2} \Delta_q^2 \sum_{\omega} \int dp 2 \cos^2(2\phi) G_{\omega}(p_+) G_{-\omega}(p_-) = \\ & = -\Delta_q^2 T N(0) \sum_{\omega} \int \frac{d\xi}{\bar{\omega}^2 + \xi^2} + \Delta_q^2 q^2 \frac{N(0) \pi v_F^2 T_c}{8} \sum_{\omega} \frac{1}{|\bar{\omega}|^3}. \end{aligned} \quad (B.1)$$

Диаграмме в рис. 2 соответствует выражение

$$-\frac{T}{(2\pi)^2} \Delta_q^2 \sum_{\omega} \int dp 2 \cos^2(2\phi) G_{\omega}(p) G_{-\omega}(p) = -\Delta_q^2 T_c N(0) \sum_{\omega} \int \frac{d\xi}{\bar{\omega}^2 + \xi^2}. \quad (B.2)$$

Диаграмма с «диффузоном» (рис. 2б) дает

$$-T \sum_{\omega} \sum_{\mathbf{p}\mathbf{p}'} \sqrt{2} \cos(2\phi) G^R(\mathbf{p}_+) G^A(\mathbf{p}_-) \Gamma_{\mathbf{p}\mathbf{p}'} \sqrt{2} \cos(2\phi') G^R(\mathbf{p}'_+) G^A(\mathbf{p}'_-). \quad (\text{Б.3})$$

С учетом (А.6) и (А.7) это выражение преобразуется к виду

$$-TN(0)\pi\gamma_1 \sum_{\omega} \left[\frac{1}{|\bar{\omega}|(|\bar{\omega}| - \gamma_1)} - \frac{v_F^2(2|\bar{\omega}| - \gamma_1)q^2}{8|\bar{\omega}|^3(|\bar{\omega}| - \gamma_1)^2} \right]. \quad (\text{Б.4})$$

Заметим, что в случае отсутствия анизотропной компоненты рассеяния для сверхпроводников d -типа «диффузионная» перенормировка за счет графиков типа изображенных на рис. 2в равна нулю с точностью до членов квадратичных по q .

Аналогично получается выражение, соответствующее диаграмме z :

$$-TN(0)\pi\gamma_1 \sum_{\omega} \frac{1}{|\bar{\omega}|(|\bar{\omega}| - \gamma_1)}. \quad (\text{Б.5})$$

Выписав выражение для $F_s - F_n$ и выделив коэффициенты при q в нулевой степени и q^2 , можно получить выражения для соответствующих коэффициентов Гинзбурга–Ландау.

Литература

1. D. Pines, *Physica C* **235–240**, 113 (1994).
2. S. Chakravarty, A. Subba, P. W. Anderson, and S. Strong, *Science* **261**, 337 (1993).
3. A. I. Liechtenstein, I. I. Mazin, and O. K. Andersen, *Phys. Rev. Lett.* **74**, 2303 (1995).
4. L. S. Borkovski and P. J. Hirschfeld, *Phys. Rev. B* **49**, 15404 (1994).
5. R. Fehrenbacher and M. R. Norman, *Phys. Rev. B* **50**, 3495 (1994).
6. А. И. Посаженикова, М. В. Садовский, *Письма ЖЭТФ* **63**, 347 (1996).
7. G. Haran and A. D. S. Nagi, *Phys. Rev.* **54**, 15463 (1996).
8. М. В. Садовский, *СФХТ* **8**, 337 (1995); submitted to *Phys. Rep.* (1997).
9. М. В. Садовский, А. И. Посаженикова, *Письма ЖЭТФ* **65**, 258 (1997).
10. А. А. Абрикосов, Л. П. Горьков, И. Е. Дзялошинский, *Методы квантовой теории поля в статистической физике*, Физматгиз, Москва (1963).
11. П. Де Жен, *Сверхпроводимость металлов и сплавов*, Мир, Москва (1968).
12. Л. П. Горьков, *ЖЭТФ* **37**, 1407 (1959).